

**Univerzita Karlova v Praze
Lékařská fakulta v Hradci Králové**

**B-typ natriuretický peptid
u chronické biventrikulární stimulace**

Radka Hazuková

Autoreferát disertační práce

Doktorský studijní program - vnitřní nemoci

Hradec Králové

2008

Disertační práce byla vypracována v rámci *kombinovaného* studia doktorského studijního programu vnitřní nemoci na Katedře interních oborů I. interní kliniky Lékařské fakulty UK v Hradci Králové.

Student: MUDr. Radka Hazuková,
I. interní klinika FN, Fakultní nemocnice,
500 05 Hradec Králové

Školitel: Prof. MUDr. Jan Vojáček, DrSc.,
I. interní klinika FN, Fakultní nemocnice
500 05 Hradec Králové

Oponenti:

Doc. MUDr. Miloš Táborský, CSc., FESC, MBA
Kardiocentrum, Nemocnice Na Homolce,
Roentgenova 2, 150 30 Praha 5
e-mail: milos.taborsky@homolka.cz

Doc. MUDr. Ivan Málek, CSc.,
Klinika kardiologie, IKEM,
Videňská 1958/9, 140 21 Praha 4,
e-mail: ivan.malek@medicon.cz

Obhajoba se koná před Komisí pro obhajoby disertačních prací v doktorském studijním programu **Vnitřní nemoci ve středu 1. dubna 2009 od 10,00 hodin,** budova 23 – Baštecského pavilon, 3. podlaží Fakultní nemocnice Hradec Králové

Tato práce vznikla za podpory rozvojového projektu
Fakultní nemocnice v Hradci Králové.

S disertační prací je možno se seznámit na děkanátu
Lékařské fakulty v Hradci Králové, Univerzity Karlovy
v Praze, Šimkova 870, 500 38 Hradec Králové (tel.
495 816 131).

Prof. MUDr. Jan Bureš, CSc.

Předseda komise pro obhajoby disertačních prací
v doktorském studijním programu vnitřní nemoci

Obsah

1. Souhrn
2. Summary
3. Úvod
4. Hypotéza
5. Cíl
6. Metodika
7. Výsledky
8. Diskuse
9. Závěr
10. Literatura
11. Zkratky
12. Bibliografie autora

1. Souhrn

Úvod. Definice zásadních pojmů týkajících se srdeční resynchronizační terapie (SRT) jako “optimální nastavení stimulatoru”, “efekt” nebo “respondér” zůstává stále nejednotná.

Cíl. Otestovat, zda je B-typ natriuretický peptid (BNP) u SRT schopen časně od sebe vzájemně odlišit jednotlivé typy komorové stimulace, respektive, zda může být užitečný při optimalizaci SRT.

Metodika. 25 pacientů s chronickou biventrikulární stimulací (BiVP) bylo randomizováno do periody testované pravokomorové stimulace (RVP) nebo kontroly (reaktivovaná BiVP) s cross-overem následující den. Původní nastavení pacemakeru bylo obnoveno na konci každé periody. Série BNP odběrů byla hodnocena (2 před, 6 po reprogramaci) v každém z obou konsektivních dnů. Stimulace levé komory (LVP) byla testována o měsíc později podobným způsobem. Efekt BiVP byl zhodnocen vzájemnou komparací RVP a LVP kontroly

Výsledky. Proti LVP a BiVP byly zachyceny jisté rozdíly během RVP protokolu. Proti kontrole, při které byl zachycen nivelizovaný trend BNP, vykázala RVP setrvalý nárůst BNP ($P=0,008$). Oproti výchozí hodnotě BNP, dosáhlo BNP signifikantního zvýšení ve 3. hodině ($+8,7\%;P=0,0002$) s maximem ve 4. hodině ($+17,6\%;P=0,00002$) RVP, zatímco během kontroly zůstalo BNP nezměněno. Změna BNP se zdá být predikovatelná (z výchozího BNP, z rozměru levé komory). Hodnocena byla i BNP variabilita.

Závěr. BNP je schopen časně rozlišit jednotlivé typy SRT komorové stimulace s nárůstem při méně příznivém

režimu. BNP proto může být vhodný k neinvazivní optimalizaci SRT problematiky.

2. Summary

Background: In cardiac resynchronization therapy (CRT), vital terms like “optimal pacing configuration”, “effect” or “responder” still remain inconsistently specified.

Aim: Whether B-type natriuretic peptide (BNP) is able to early recognize differences among types of CRT ventricular pacing with the view of better CRT terms specification.

Method: 25 patients on chronic biventricular pacing (BiVP) were randomized to a period of either the tested (right) ventricular pacing (RVP) or the control (reactivated BiVP) with a cross-over on the next day. The initial pacemaker setting was restored at the end of each period. The series of BNP was assessed (2 prior; 6 after the reprogramming) on each of two consecutive days. The left ventricular pacing (LVP) was tested 1-month later in the similar manner. The early effect of BiVP was established using confrontation between both controls.

Results: In contrast to both LVP, BiVP, certain BNP differences were noted during RVP phase. Compared with the control, in which the levelled BNP trend was seen, the RVP exhibited the sustained BNP increase ($P=0.008$). Compared with baseline BNP, the increased BNP reached significance at 3hour of RVP ($+8.7\%$; $P=0.0002$), more pronounced at 4hour ($+17.6\%$; $P=0.00002$), whilst during the control BNP remained unchanged. The BNP change seems to be predictable (using baseline BNP, or left ventricular diameter). The BNP variability was also tested.

Conclusion: BNP is able to early distinct types of CRT ventricular pacing with the increase during less

favourable one. Thus BNP may be useful in optimizing CRT issues.

3. ÚVOD

V kontextu srdeční resynchronizační terapie (SRT) řeší mnoho renomovaných prací otázku „predikce“, „poměrného zastoupení“, „selektce“ či „optimalizace“ pojmů, jejichž specifikace není ani přes vitální důležitost jednoznačná a všeobecně akceptovatelná („efekt“, „respondér“, „vhodný kandidát“, „optimální stimulační režim“) (1-5).

Stávající praxe využívá k jejich terminologickému vymezení široké spektrum různorodě koncipovaných protokolů (Tabulka 15). Vzešlá data jsou ovšem nekonzistentní, nespolehlivá a obtížně porovnatelná. Snahou proto je, často neúnosně zdlouhavé protokoly simplifikovat, nejlépe na jediný ukazatel.

Vzhledem k základnímu poselství SRT, čímž je optimalizace hemodynamické situace organismu, lze v tomto kontextu předpokládat slibný význam B-typ natriuretického peptidu (BNP), jehož plazmatická hladina přímo reflektuje stupeň hemodynamické zátěže kardiiovaskulárního systému (287).

Predispozice BNP by měly proto být seriózně otestovány. V humánní medicíně totiž kvantifikace hemodynamického podnětu dostačujícího pro vyplavení BNP chybí. Přesto jedna z animálních studií demonstrovala, že expozice krysích kardiomyocytů izolovaných ze srdečních síní tlaku o velikosti 8 mmHg, vyplaví signifikantní množství BNP do 4 hodin. Navíc je známo, že mezi jednotlivými typy komorové stimulace, které SRT v podobě biventrikulární stimulace (BiVP) vzhledem k přítomnosti pravo- a levokomorové elektrody umožňuje, existuje hemodynamický rozdíl. Rozdíl mezi BiVP a pravokomorovou stimulací (RVP),

vyjádřený tlakem v zaklíněné plicnici, dosahuje v průměru až 5 mmHg, s přírůstkem při RVP. Vzhledem k závislosti BNP vlastností na biologickém druhu, stupni maturace tkání i zdravotní kondici jedince je nutné provádět test na reálných pacientech za maximálně ustálených podmínek (287).

4. HYPOTÉZA

Sumace poznatků umožnila koncipovat předpoklad, že aktivace RVP je dostatečná k tomu, aby v intervalu prvních 4 hodin vyvolala u reálných pacientů s chronickou BiVP signifikantní vzestup BNP, respektive, že BNP je dostatečně citlivý k odlišení dvou hemodynamicky vzájemně rozdílných typů komorové stimulace, přičemž k elevaci BNP dochází během méně příznivé varianty a naopak.

5. CÍL

Popsat dynamiku plazmatické hladiny BNP během krátké periody bezprostředně navazující na aktivaci každého ze základních typů stimulace komorového myokardu (RVP; LVP, BiVP) a porovnat ji s výchozím stavem (chronická BiVP) a se stavem kontrolním (reaktovaná BiVP = rBiVP). rBiVP představovala vzhledem k výchozímu stavu hemodynamicky indiferentní stimulaci, navozenou pouhou reprogramací pacemakeru.

Tabuľka 15. Srdeční resynchronizační terapie (SRT) – respondéři - definice a procentuální zastoupení (náhodný výběr studií).

Autor (Referenční číslo)	Effekt (Délka)	Metoda	Definice respondéra	Respondéři/Nahravení
Blanc et al [66] 1997	3 minuty	Inovativní hemodyn	PCWP o +20% v vlna o +20% PCWP i v vlna o +20%	5 (36%) / 9 (64%) 9 (64%) / 5 (36%) 5 (36%) / 9 (64%)
Leclercq et al [67] 1998	10 minut	Inovativní hemodyn	CI o + 10% a PCWP o -10%	12 (67%) / 6 (33%)
Auricchio et al [68] 1999	sekundy	Inovativní hemodyn	dp/dt (o +5%)	15 (60%) / 10 (40%)
Butter et al [69]	sekundy	Inovativní hemodyn	dp/dt signál + (o průměr 5%) <i>CH-CHF II</i>	19 (63%) / 11 (37%)
Stelbrink et al [70] 2001	sekundy	Inovativní hemodyn	dp/dt (o +5 %) AoTA (o +10%)	19 (76%) / 6 (24%) 13 (52%) / 12 (48%)
Vogt et al [71] 2004	sekundy	Inovativní hemodyn	AoTA o + 10%	165 (89%) / 23 (11%)
Kim et al [72] 2001	2 až 7 dnů	ECHO	TO o + 15%	5 (33%) / 10 (67%)
Stuckburger et al [73] 2006	sekundy	ECHO	Nejlepší LVPBL IVD, LVFTc, MPI	21 (81%) / 5 (19%)
Breithardt et al [74] 2002	sekundy	ECHO	dp/dt (o +3%)	24 (71%) / 10 (29%)
Breithardt et al [75] 2002	sekundy	Inovativní hemodyn	dp/dt o + 5%	26 (77%) / 8 (23%)
Auricchio et al [76] 2002	sekundy	Inovativní hemodyn	dp/dt (o + 5%)	27 (69%) / 12 (31%)
Bax et al [77] 2003	1 den	ECHO	LVEF o + 5%	17 (68%) / 8 (32%)
Lancellotti et al [78] 2004	30 minut	ECHO	CEEDV, ESV, EF, ERO, dp/dt, TPO P ≤ 0,003	27 (100%) / 0 (0%)
Givsson et al [79] 2002	548 hodin	ECHO	TO o +15%	15 (22%) / 44 (68%)
Kamath et al [80] 2002	sekundy	ECHO	II AoPET >140ms, PaPET > 50ms IVCD >180ms, PreSysLMR < 30	20 (65%) / 11 (35%)
Rauter et al [81] 2002	2 dny	EKO	QRS o -25%	58 (37%) / 44 (43%)
Haucková et al [82] 2005	4 hodiny	BMP	Signifikantní zvýšení (P=0,05, průměrná SD)	8 (80%) / 2 (20%)
Hoijer et al [83] 2006	2 měsíce	Klinika	Preference BIVP	9 (90%) / 1 (10%)
Kiendermann et al [84] 2006	3 měsíce <i>NOBIPACE</i>	Klinika	Preference BIVP	20 (67%) / 10 (33%)
Alonso et al [85] 1999	6 měsíců	Klinika	NYHA o-1 a VO2max o +10% ± 50% ²	19 (73%) / 7 (27%)
Rauter et al [86] 2002	6 měsíců	Klinika	Zlepšení v samostatnosti <i>ONYMA (QOL)</i>	91 (89%) / 11 (11%)

Nombartolo et al. ^[94] 2004	3 měsíce	Klinika	Zlepšení (NYHA, 6-MWT, QOL) LV ESV o -15%	37 (78%) / 12 (24%) 29 (59%) / 20 (41%)
Abraham et al. ^[95] 2002	6 měsíců	Mortalita	Přežití jen díky SRT (zlepšení a stacionární)	17 (35%) / 211 (92%)
Stelbrink et al. ^[96] 2001	6 měsíců <i>PATCH-HF</i>	ECHO	LV ESV o -15%	16 (64%) / 9 (36%)
Prizalis et al. ^[96] 2002	1 měsíc	ECHO	LV ESV o -15%	12 (60%) / 8 (40%)
Thaman et al. ^[97] 2003	6 měsíců	ECHO	FS o + 3%	10 (53%) / 9 (47%)
Garrigue et al. ^[98] 2003	2 měsíce	Klinika a ECHO	NYHA, EF, AoVTI, PEA	10 (77%) / 3 (23%)
Penicka et al. ^[99] 2004	6 měsíců	ECHO	EF o + 25%	27 (58%) / 23 (45%)
Portmann et al. ^[100] 2005	6 měsíců	ECHO	LV ESV o -15%	28 (47%) / 31 (52%)
Cazrau et al. ^[101] 2001	3 měsíce <i>MUSTIC</i>	Klinika	Preference BIVP	41 (85%) / 7 (15%)
Lunde et al. ^[102] 2002	3 měsíce <i>MUSTIC</i>	Klinika	Preference BIVP	76 (87%) / 11 (13%)
Molhoek et al. ^[103] 2002	3 i 6 měsíců	Klinika	NYHA o -1	31 (78%) / 9 (22%)
Bax et al. ^[104] 2004	6 měsíců	Klinika	NYHA o -1, 6MWT o +25%	59 (69%) / 26 (31%)
Molhoek et al. ^[105] 2004	6 měsíců	Klinika	NYHA o -1	50 (68%) / 24 (32%)
Molhoek et al. ^[106] 2004	6 měsíců	Klinika	Zlepšení (NYHA, 6-MWT, QOL)	45 (74%) / 16 (26%)
Leccoq et al. ^[107] 2005	6 měsíců	Klinika	Přežití, bez hospitalizace, (NYHA o -1, a/nebo VO2max nebo 6-MWT o + 10%)	100 (73%) / 38 (27%)
Leclercq et al. ^[108] 2002	3 měsíce	Klinika	Preference BIVP	31 (82%) / 6 (15%)
Yu et al. ^[109] 2002	3 měsíce	Klinika	NYHA o -1	25 (100%) / 0 (0%)
Yu et al. ^[109] 2003	3 měsíce	ECHO	LV ESV o -15%	17 (57%) / 13 (43%)
Yu et al. ^[109] 2004	3 měsíce	ECHO (TDI)	LV ESV o -15%	31 (57%) / 23 (43%)
Dělení 4 - 5 měsíců				
Oguz et al. ^[104] 2002	7,5 měsíce	Klinika	NYHA o -1	11 (69%) / 5 (31%)
Reuter et al. ^[105] 2002	12 měsíců	Klinika	Zlepšení a stacionární (NYHA i QOL)	84 (83%) / 18 (17%)
Lunati et al. ^[103] 2002	cca 12 měsíců	Klinika	NYHA o -1	42 (80%) / 10 (20%)
Tao et al. ^[109] 2003	cca 12 měsíců	Klinika	Zlepšení symptomů	23 (86%) / 4 (14%)
	cca 12 měsíců	Mortalita	Přežití	26 (90%) / 3 (10%)

Breithardt et al. ^[75] 2002	10 měsíců	ECHO	Signifikanční zvýšení (AoTA vs dp/dt)	24 (75%) / 8 (25%)
Lewentow et al. ^[107] 2000	cca 14 měsíců	Mortalita	Přežití	38 (76%) / 9 (24%)
Gaviglio et al. ^[108] 2001	12 měsíců	ECHO	IVCD snížení	7 (54%) / 3 (25%)
Cabreu et al. ^[97] 2001	3 měsíce <i>ACUSTIC</i>	Klinika	Preferencí DiVP	41 (82%) / 7 (15%)
Reuter et al. ^[95] 2002	12 měsíců	Klinika	Zlepšení a stacionární QTYLA + QOL	24 (82%) / 18 (18%)
Asterhan et al. ^[109] 2002	12 měsíců	Klinika Prognóza	NYHA o -1 Podle hospřazovaných	21 (75%) / 8 (28%) 13 (42%), 16 (53%)
Melhoeck et al. ^[98] 2002	24 měsíců	Mortalita	Přežití	35 (88%) / 5 (12%)
Mollnes et al. ^[99] 2004	24 měsíců	Mortalita	Přežití	45 (88%) / 9 (12%)
Dwoud et al. ^[111] 2001	12 měsíců	Mortalita	Přežití	46 (70%) / 17 (30%)
Cvsa et al. ^[112] 2001	12 měsíců <i>ImDyne</i>	Mortalita	Přežití	82 (80%) / 21 (20%)
Leon et al. ^[113] 2002	17 měsíců	Mortalita	Přežití	17 (85%) / 3 (15%)
Blaue et al. ^[114] 2004	12 měsíců	Mortalita	Přežití	15 (70%) / 5 (30%)
Pitzalis et al. ^[115] 2004	12 měsíců	ECHO	LV ESVI o -15%	17 (68%) / 8 (32%)
Rosello et al. ^[116] 2004	18 měsíců	Klinika	Zlepšení (NYEA)	148 (64%) / 85 (36%)
	18 měsíců	Mortalita	Přežití	194 (83%) / 39 (17%)
	13 měsíců	ECHO	Zlepšení (LVEF)	109 (47%) / 124 (53%)
Pitzalis et al. ^[117] 2005	cca 14 měsíců	Klinika	Zlepšení a stacionární	44 (73%) / 16 (27%)
de Cock et al. ^[118] 2005	cca 13 měsíců	Mortalita	Přežití	21 (88%) / 3 (12%)
Cleland et al. ^[119] <i>CARE-HF</i>	37,4 měsíce	Mortalita	Přežití jen díky SRT	53 (13%) / 356 (87%)
Castellan et al. ^[120] 2008	6-24 měsíců	Klinika, ECHO	Normalizace LVEF, QOL	11 (13%), 73 (87%)

Zkratky: PCWP = tlak v základně plicí; CI = Srdceí index; dp/dt = maximální rychlost relaxace; AoTA = Tlaková amplituda v seně; ECHO = Echokardiogram; TO = Tepový objem; LVPEI = preejekční interval levé komory; IVD = Interventrikulární delay; LVFte = Plnicí čas levé komory; MPI = myocardial performance index; LVEF = ejekční frakce levé komory srdeční; EDV = end diastolický objem; ESV = End systolický objem; EF = Ejekční frakce; ERO = Efektivní regurgitační orificium; TPG = Tlakový gradient na tricuspidální chlopi; AoPET = Aortální preejekční čas; PuPET = Pulmonální preejekční čas; IVCD = intraventricular conduction delay; PrsSysMR = Prsystolická (diastolická) mitrální insuficience; EKG = Elektrokardiogram; QRS = QRS komplex; BNP = B-typ natriuretický peptid; BiVP = Biventrikulární stimulace; NYHA = New York Heart Association; VO₂ max = maximální spotřeba kyslíku (aerobní kapacita); QOL = skóre kvality života; 6-MWT = 6 minutový test chůze; LV ESV = end systolický objem levé komory srdeční; SRT = Srdceí resynchronizační terapie; LV ESVI = index end systolického objemu levé komory srdeční; FS = Fractional shortening (frakční zkrácení); AoVTI = Aortic velocity time integral; PEA = Peak endocardial acceleration; TDI = Tráfový doppler.

6. METODIKA

Objektem testování prezentované prospektivní, randomizované a kontrolované studie s cross-overem byla „komorová stimulace“. Nástrojem testování byl „BNP“ (obrázek 10).

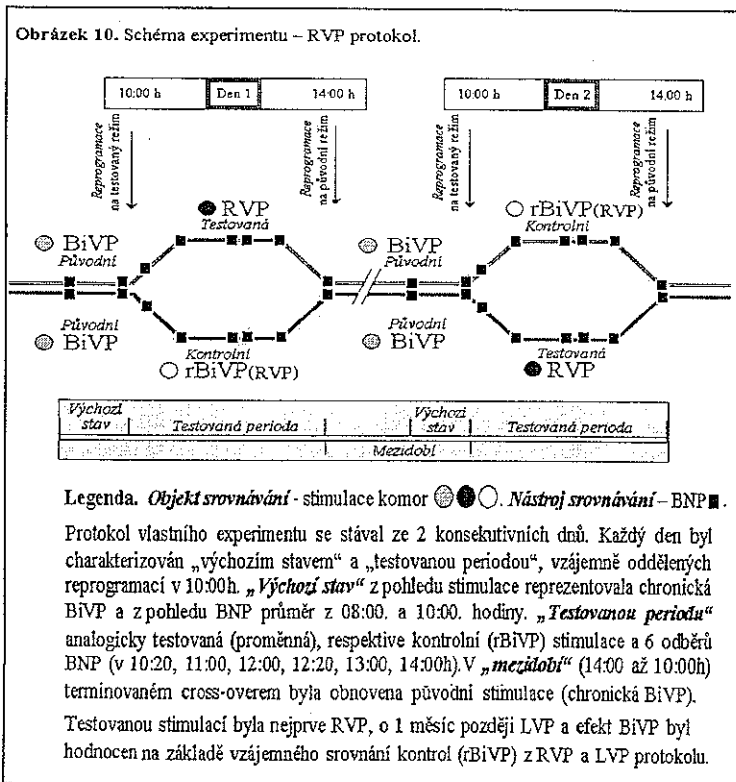
Výsledná kohorta 25 pacientů s pokročilým homogenně definovaným chronickým srdečním selháním (CHSS): (NYHA III, systolická dysfunkce dilatované levé komory, porucha komorového vedení) byla selektována na základě vstupních a vylučujících kritérií s požadavkem na dosažení maximální homeostázy BNP (stabilní stav při optimalizované hybridní terapii CHSS = medikamenty; chronická BiVP) (302).

Vlastní experiment probíhal ve 2 konsekutivních dnech, z nichž každý charakterizovala „reprogramace“ a „odběr BNP“ (obrázek 10). Reprogramace z původní (chronická BiVP) do 4-hodinové periody testované (proměnná), nebo kontrolní (rBiVP) stimulace byla provedena v 10:00h dle randomizace. Randomizovalo se v kontinuálně vyrovnaném poměru (1:1 = lichý:sudý pacient) s cross-overem následující den. V mezidobí byla obnovena původní stimulace. Každý den byla sledována infradiální dynamika BNP. Série BNP během testované, respektive kontrolní stimulace (6 vzorků po reprogramaci) byla porovnána s odpovídajícím výchozím stavem (průměr ze 2 vzorků před reprogramací) (graf 2a) i mezi sebou navzájem (graf 1).

Testovanou stimulaci reprezentoval nejprve RVP [„RVP protokol“ s kontrolou „rBiVP(RVP)“], později LVP s odstupem 1 měsíce [„LVP protokol“ s kontrolou „rBiVP(LVP)“] a nakonec byl hodnocen efekt BiVP na základě vzájemné komparace již dostupných dat z

kontrol RVP a LVP protokolu [rBiVP(RVP) proti rBiVP(LVP)]. Celá studie byla provedena za podmínek minimalizujících nežádoucí alteraci BNP homeostázy (285).

K analýze BNP byl užit komerčně dostupný MEIA test a ke statistickému zhodnocení využita adekvátní metodika (párový t-test, lineární regresní analýza). Variabilitu popsal variační koeficient = CV a variační rozpětí = VR.

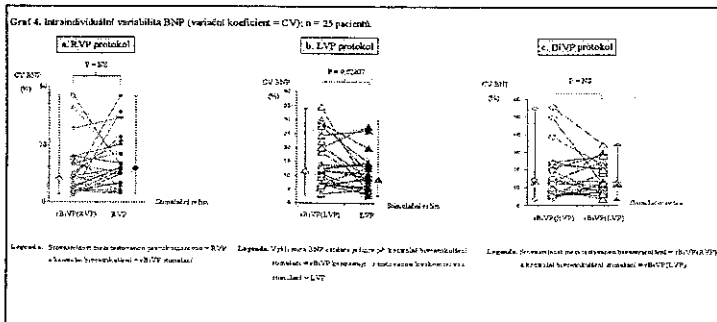


Tabulka 3a. Korelace ke změně BNP detekovaná během RVP, n = 25 pacientů

BNP změna	Parametr	Čas změny	Spearmanův koeficient	P-hodnota	Čas změny	Spearmanův koeficient	P-hodnota
Absolutní (pmol/L)	Relaxace	13:00 h	0,27036	NS	14:00 h	0,14926	NS
	LVEF		0,07497	NS		0,7191260	NS
	LVEDD		0,306792	NS		0,439738	0,027758
	QRS		-0,160263	NS		-0,324304	NS
	Výchozí BNP		-0,02875	NS		0,336023	NS
Relativní (%)	Výchozí CV BNP		0,028128	NS		0,516890	NS
	Relaxace		-0,122916	NS		0,201620	NS
	LVEF		0,234064	NS		-0,126023	NS
	LVEDD		-0,027019	NS		0,140076	NS
	QRS		-0,240247	NS		0,127816	NS
Výchozí BNP			0,478462	0,015545		0,033844	NS
	Výchozí CV BNP		0,381327	NS		-0,187244	NS

Legenda: Absolutní změna ve 14:00h vykazala střední přímou závislost k ostatním diagnostickým komorám a relativní změna ve 13:00h vykazala střední nepřímou závislost k hodnotě BNP při původním nastavení kardiovaskulárního (Grimér: x 0,05 a 10 00h). Pozn. Žebříkem koncoví simulace nebývá BNP změna detekována.

Vedlejším zjištěním byla, vzhledem k podmínkám minimalizujících fluktuaci BNP, poměrně překvapivě vysoká intraindividuální variabilita BNP zaznamenaná při každém z testovaných typů komorové stimulace. Ve srovnání s ostatními se ovšem zdá být pásmo BNP oscilace na úrovni jedince o něco nižší, je-li aktivována LVP (P = 0,02) (graf 4). Jistou unikátnost vykazovala LVP z pohledu intraindividuální BNP variability i v otázce korelace s testovanými demografickými ukazateli, kdy byl zaznamenán signifikantní vztah k hodnotě QRS komplexu, zatímco ostatní stimulační režimy se v tomto smyslu chovaly neutrálně (tabulka 25b). Naprosto opačný jev byl zachycen při testování závislosti intraindividuální BNP variability na průměrné plazmatické hladině BNP jedince (graf 6).

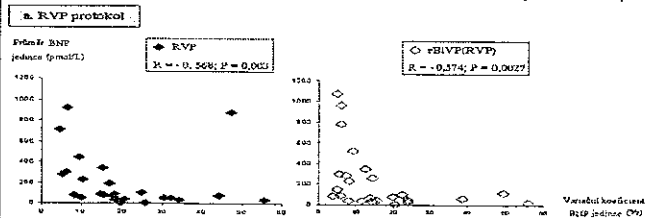


Tabulka 25b. Korelace vstupních demografických dat k intraindividuální BNP variabilitě (variabilní koeficient = CV) během levokomorové stimulace (LVP); n = 25 pacientů.

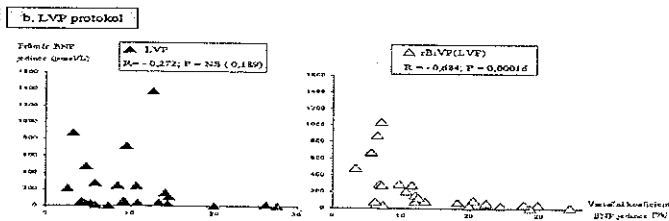
Parametr	Proměnná	Spearmanův koeficient	P-hodnota
CV BNP	Rok narození	0,312645	NS
	LVEF	0,116921	NS
	LVEDD	-0,11956	NS
	QRS	-0,48748	0,013445

Legenda. Sředi ní inverzní signifikantní závislost mezi intraindividuální variabilitou BNP a ží QRS komplexu.

Črnf 6. Korelace intraindividuální BNP variability (CV) k průměrné BNP hodnotě jedince; n = 25 pacientů.



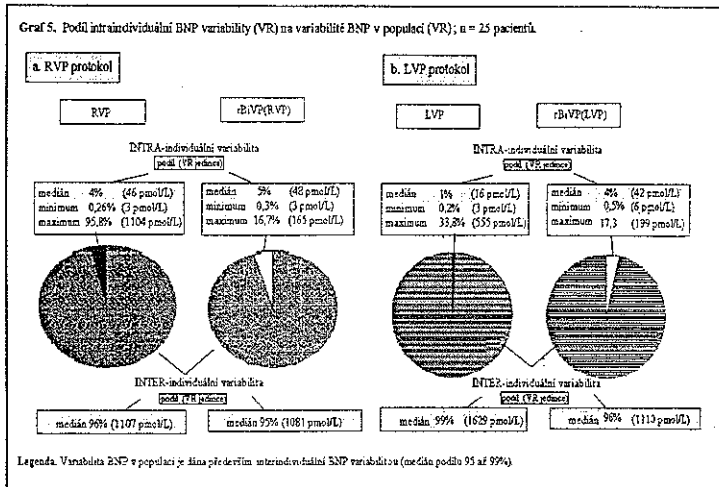
Legenda. Signifikantní silnější inverzní závislost mezi intraindividuální BNP průměrem a intraindividuální BNP variabilitou pro testovanou = RVP i kontrolní = cBVP(RVP) stimulaci.



Legenda. Signifikantní silnější inverzní závislost mezi BNP průměrem jedince a intraindividuální BNP variabilitou jen pro kontrolní = cBVP(LVP) stimulaci. Pro testovanou = LVP stimulaci nevyskázala slabší inverzní hodnota Spearmanova koeficientu signifikantní významnosti.

Korelace průměrné plazmatické hladiny BNP hodnot jedince zaznamenaných během daného stimulačního režimu byla testována nejen k intraindividuální BNP variabilitě (CV), ale též ke specifikovaným vstupním demografickým parametrům. S univerzální platností byl pro všechny režimy v tomto smyslu detekován signifikantní vztah k ejekční frakci i diastolickému diametru levé komory (tabulka 25).

Graf 5. Podíl intraindividuální BNP variability (VR) na variabilitě BNP v populaci (VR); n = 25 pacientů.



8. DISKUSE

8.1. Hlavní zjištění

Disertační práce, zaměřená na dynamiku BNP u základních typů SRT komorové stimulace, demonstrovala jednak setrvalý vzestup BNP po reprogramaci chronické BiVP na RVP s významností již od třetí hodiny, jednak srovnatelnost výchozích a následných BNP hodnot vztahujících se k jednotlivým zbývajícím typům reprogramace (z chronické BiVP na LVP, respektive na rBiVP).

8.1.1. Kompatibilita s hypotézou

Všechny tři parciální nálezy v zásadě korespondují s hypotézou. Hypotéza vycházela vedle poznatků akutních hemodynamických SRT studií i z dosud popsáných patofyziologických BNP charakteristik (66,67,129,180,287). V tomto kontextu budou jednotlivé poznatky postupně konfrontovány.

8.1.1.a. Chronická BiVP na RVP

Bylo prokázáno, že RVP je v porovnání s BiVP většinou hemodynamicky méně příznivou variantou (66,67). Zhoršující se hemodynamické parametry přetěžují kardiovaskulární systém, napínají srdeční stěnu a rozpínají kardiomyocyty. Z literárních odkazů, nesoúvisejících se SRT, víme, že právě samotná distenze kardiomyocytů stimuluje produkci a vyplavení BNP do krevního oběhu (180,287). Následně je detekována vyšší hodnota BNP v plazmě. Proto s vysokou pravděpodobností přisuzujeme zaznamenaný setrvalý vzestup BNP horšícím se hemodynamickým poměrům, k nimž po aktivaci RVP dochází.

O poznání komplexnější než samotný charakter BNP dynamiky byla při formulování hypotézy a při přípravě metodiky studie otázka časové prodlevy od reprogramace k BNP odezvě. V úvahu přicházela jak promptní, tak oddálená BNP odpověď. Ortodoxně ovšem nebylo možné zastávat ani jednu z nich. Obě varianty totiž měly své „pro-“ i „proti-“ argumenty (180,285,287).

Promptní reakci BNP podporoval vedle přítomnosti okamžitého BNP rezervoáru v selhávajících srdcích, také poznatek o bezprostřední změně hemodynamických parametrů v návaznosti na aktivaci jistého stimulačního režimu (129, 287).

Představit si ovšem bylo možné i takovou situaci, kdy by ke změně plazmatické hladiny BNP podmíněně preformovaným BNP „poolem“ nedošlo promptně, ale opožděně. V takovém případě by se jednalo buď o falešně negativní výsledek prvních vzorků v důsledku málo početné populace, nebo o existenci SRT indukované srdeční paměti (268).

Vedle preformovaného BNP „poolu“ jsme ve vztahu k detekované BNP změně a její rychlosti museli zohlednit i možnost vlastní BNP proteosyntézy. Literární data vymezovala a vymezují trvání syntézy BNP relativně širokým časovým rozpětím od 15 minut do 48 hodin. Nejčastěji však udávají 1- až 3-hodinovou latenci v závislosti na testovaném subjektu a charakteristikách podnětu. Z našeho pohledu se právě tato varianta založená na nově vytvořených BNP molekulách jeví jako nejvhodnější pro vysvětlení námi zachycené 3-hodinové BNP prodlevy (180,287).

8.1.1.b Chronická BiVP na LVP

Zaznamenaná srovnatelnost hladin BNP mezi LVP a BiVP odpovídá literárním poznatkům, že efekt LVP je minimálně stejně příznivý jako efekt BiVP (66,67,75,129). Srovnatelnost BNP hladin mezi oběma typy stimulace ovšem může být způsobena i falešnou negativitou zachyceného výsledku při relativně málo početném souboru, případně v důsledku existence SRT indukované srdeční paměti (268). Po odstranění obou uvedených limitací bychom totiž mohli v souvislosti s aktivací LVP očekávat i pokles plazmatické hladiny BNP (287). Breithardt a někteří další autoři popsali LVP nejen jako srovnatelnou, ale též za hemodynamicky příznivější variantu SRT s poměrem respondérů na LVP a BiVP 18:7 (75). Reprogramací na hemodynamicky příznivější variantu SRT by kleslo napětí srdeční stěny, distendované kardiomyocyty by obnovily své původní rozměry a degradace BNP by převýšila jeho produkci s ustálením plazmatické hladiny BNP za 1-1,5 hodiny (287).

8.1.1.c Chronická BiVP na rBiVP

Srovnatelnost plazmatických hladin BNP mezi chronickou a rBiVP vysvětluje poznatek dvou nezávislých autorů, že prostý elektrický stimulus ve formě například změny tepové frekvence nebo změny stimulačního režimu, není-li doprovázen změnou hemodynamiky, neovlivní množství produkovaného BNP (179, 284).

8.1.2. Identifikace podnětu BNP změny

Vzhledem k prioritnímu smyslu práce, zda rozdíl mezi základními typy stimulace komorového myokardu u SRT má dostatečný potenciál k alteraci BNP plazmatické hladiny, nebylo žádoucí protokol zbytečně komplikovat. Při koncipování studie bylo shledáno zařazení hemodynamického monitorování za prakticky i eticky neschůdné, proto jsme doplňující informaci jednoznačně charakterizující rozdíl mezi stimulačními režimy komorového myokardu objetovali.

Přesto můžeme na základě nepřímých indicií usuzovat, že detekovaná změna BNP v souvislosti s reprogramací reflektuje s vysokou pravděpodobností změnu hemodynamiky, kterou lze hrubě orientačně kvantifikovat (66,67,180,287).

8.1.3. Kvantifikace podnětu BNP změny

K orientační kvantifikaci podnětu, jenž způsobil vzestup BNP lze využít dosavadní literární data, která hemodynamický rozdíl navozený reprogramací BiVP na RVP specifikovala snížením srdečního indexu v průměru o $0,28-0,3 \text{ L}\cdot\text{min}^{-1}\cdot\text{m}^{-2}$ (67), srdečního minutového výdeje o $0,2 \text{ L}\cdot\text{min}^{-1}$, systémového systolického tlaku o 7,2 mmHg (66), aortální tlakové amplitudy o 5,4 mmHg a

dp/dt o 203 mmHg.s⁻¹, respektive zvýšením PCWP v průměru o 2-4,8 mmHg (66,67), v vlny o 3-6,8 mmHg (66,67), šíře QRS komplexu na EKG o 46 ms (67), systémové cévní rezistence o 76 dyn.s.cm⁻⁵, Tei indexu o 0,16-0,13 a času isovolumické kontrakce o 19 ms.

8.2. Vedlejší zjištění

Vedlejší zjištění disertace se týkalo variability plazmatické hladiny BNP jednak na úrovni jedince, jednak na úrovni populace a bylo poměrně překvapivé. V obou případech byla zaznamenána relativně vysoká hodnota BNP oscilace v plazmě, ačkoli byl úzkostlivě dodržován protokol minimalizující tendenci BNP k exkurzím z pomyslného homeostatického bodu do vyšších a nižších hodnot a současně se jednalo o klinicky homogenně definovanou, relativně kompenzovanou a poměrně malou kohortu pacientů (285,287). K podobným výsledkům za méně přísných podmínek dospěl Bruins u pacientů s CHSS dosud SRT neléčných (292).

Ve srovnání s RVP a rBiVP vykazala LVP vyšší ustálenost plazmatických hladin BNP na intraindividuální úrovni. Zda jde o indikátor vhodnosti stimulačního režimu zatím není známo. Rozdíl hodnot BNP v populaci mezi LVP a kontrolou = rBiVP(LVP) však nebyl prokázán a to v kontextu dosavadních poznatků takovou hypotézu zpochybňuje. V literatuře dosud nebyl význam intraindividuální oscilace plazmatické hladiny BNP více řešen.

Výjimkou je práce Bruinse, který detekoval u pacientů s CHSS a vyšší (patologičtější) hodnotou BNP v plazmě nižší oscilaci BNP a naopak (292). Takto

naznačený nepříznivý význam ustálenějších intraindividuálních hladin BNP vykazovaly i naše výsledky pro kohortu pacientů léčených SRT. Uvedený vztah ovšem nebyl na rozdíl od RVP a rBiVP prokázán při LVP stimulaci.

V neposlední řadě jsme potvrdili známou platnost přímé korespondence mezi plazmatickou hladinou BNP a tíží CHSS prvně i na kohortě pacientů se SRT (180, 287,292). Platnost této korelace, byla-li tíže CHSS definována na základě ejekční frakce levé komory (LV EF) či rozměru levé komory na konci diastoly (LV EDD), byla potvrzena pro všechny testované typy komorové stimulace.

8.3. Přínos práce

Výsledky signalizují, že BNP a jeho dynamika je schopno v klinicky akceptovatelném čase neinvazivně od sebe vzájemně odlišit jednotlivé typy komorové stimulace u SRT, alespoň ve smyslu identifikace méně příznivého stimulačního režimu (302). Lze proto očekávat, že BNP nalezne uplatnění v klinické SRT praxi, například při optimalizaci nastavení SRT přístroje.

Poznatek je vzhledem k jistým BNP specifikům (specifická BNP vlastností k biologickému druhu, zdravotnímu stavu a původu kardiomyocytů) o to cennější, že byl realizován na kohortě reálných pacientů (287,302). V tomto kontextu má nesporný význam i zvolená biologicky aktivní forma BNP a fakt, že výsledek vychází díky striktnímu metodickému postupu z reprezentativních vzorků (285,287). Nevhodný metodický postup, který bohužel není ani v renomovaných separátkách ojedinělý, může vést

k zavádějící interpretaci (tabulka 27). Práce dále popsala pomocí BNP stav akutního selhání levokomorové elektrody (58,271) a zabývala se i srdeční pamětí (268).

8.4. Limitace práce

Přetrvávající limitací v otázce BNP je vzhledem k jeho značné spontánní fluktuaci nejistá interpretace statisticky významné změny. Ačkoli disertační práce zredukovala striktním metodickým postupem pochybnou interpretaci výsledku na minimum a patří tak překvapivě i v kontextu renomovaných prací k ojedinělým (tabulka 27), je nutno přiznat, že dosud chybí definice klinicky významné změny BNP (261,302). Popsaný výsledek navíc charakterizuje populaci jako celek. Proto na základě zjištěných dat zatím nelze uvažovat o využití BNP k optimalizaci terapie dle individuálních potřeb.

9. ZÁVĚR

9.1. Zjištění

Oproti zbývajícím testovaným typům komorové stimulace (LVP a rBiVP), během nichž zůstávala nivelizovaná hladina BNP na srovnatelné úrovni s výchozím stavem i s kontrolním režimem, došlo po aktivaci RVP k setrvalému nárůstu BNP s významností již od 3. hodiny po reprogramaci.

9.2. Klinický význam

Výsledek charakterizuje BNP jako možný neinvazivní ukazatel odlišující u reálných pacientů s chronickou BiVP za podmínek minimalizujících BNP oscilaci jednotlivé typy komorové stimulace, alespoň ty

Tabulka 27. Srovnání testů/ůtěk bezcíh faktorů na piazmetickosti hřidlnů BNP v kompozitních pevných se systémejn CHSS – přístup k odběru a uchování vzorků.

Autor	Faktor	BNP test (specifita krve)	Exemplar, čas odběru	Doba klidu	Úprava medikace	Čas puštění
Něk publikace	Doba; teplota uchování	Stabilita	Metoda	Patoha	Ležební; Čerá;	
Trávanová	spřesnění	IRMA (Shimozg); as	as, 3h po raně	30 min	as (přesněji po testu)	
2001 (212)	as, -30°C	EDTA + apromin	as sředech	as	as;	as
Kouzeau	RIA (Penicula); as	as, as	as sředech	30 min	as	as
2002 (213)	as, -50°C	EDTA + benzamida	as sředech	as	as;	as
Kara	B faktor	RIA (Shimozg); as	as, sředech	30 min	as	as
2000 (213)	as, -80°C	EDTA + apromin	as sředech	as	as;	as
Detencourt	IRMA (Shimozg); as	as, as	as	as	as;	as
2004 (204)	as;	as	as	as	as;	as
Beck-da-Silva	RIA (Thiag); as	as;	as	as	as	as
2004 (207)	as;	EDTA	as	as	as;	as
Kawai	IRMA (Shimozg); as	as;	as	as	as	as
2001 (204)	as;	EDTA	as	as	as;	as
Maeda	ACEI	IRMA (Shimozg); as	as,	20 min	as (24h přeruš)	as
1998 (193)	as, -30°C	EDTA + apromin	as sředech	as;	as (apromin);	as (as)
Mürdch	RIA (Shimozg); as	as, 1h po puštění ACEI	60 min	as	as	as
1995 (197)	as 2 sředech, -20°C	EDTA + apromin	as sředech	as	as;	as
van Valsbuisa	RIA (Penicula); as	as, 9 00-10 00h	30 min, max sřed	as	as (24h přeruš)	as
1999 (194)	as, as	as	as sředech	as	as 2-4h po puštění;	as
Shah	as;	as, před ranou ACEI	30 min	as	as	as
2002 (193)	as, -80°C	as	as sředech	as	as;	as
Shah	VPI	as;	as, před ranou VPI	30 min	as	as
2002 (197)	as, -80°C	as	as sředech	as	as;	as
Lewis	ARB	IRMA (Shimozg); as	as, před ranou ARB	30 min	as	as
2002 (200)	as, -70°C	EDTA + apromin	as sředech	as	as;	as
Lewis	Warby	IRMA (Shimozg); as	as, před, po 1,3,6,12,24h	as	as (přeruš; v sředech)	as
2006 (202)	as, -70°C	as	as sředech	as	as;	as
Kobayak	Edgela	as;	as	as	as;	as
2001 (210)	as;	as	as	as	as;	as
Suho	KRT sřed	RIA (Thiag); as	as;	as	as	as
2003 (197)	as;	as	as	as	as;	as
Yanick	RIA (Thiag); as	as;	as	as	as	as
2004 (93)	as;	as	as	as	as;	as
Yanick	ICMA (ADVIA); as	as;	as	30 min	as	as
2006 (217)	as, -70°C	EDTA + apromin	as sředech	as	as;	as
Harcova	BNP na BNP	RIA (ADVIA); as	as, před, 8,10,12,20,11,12, 12,20,13,14 h	as	as (přeruš; as 14 00h)	as
2005 (91)	as 30 min, -4°C	EDTA	as sředech	as	as;	as
Sivak	RIA (Penicula) as (detranas)	as;	as	30 min; 5 min	as (přeruš; raní medikace)	as
1997 (223)	as, -20°C	EDTA	as sředech	as;	as;	as
Masamoto	Edgela	IRMA (Shimozg); as	as;	as	as (24h přeruš)	as
1993 (227)	as, -70°C	EDTA + apromin	as	as	as (po 1h); as (přeruš); 1h sřed	as
McNair	RIA (Thiag); as	as;	as	as	as (přeruš)	as
2002 (230)	as 4 h, 18°C, -70°C	EDTA	as	as	as;	as
Ernst	RIA (Penicula); as	as;	as	30 min; 3 min	as (12h před přeruš)	as
1999 (228)	as 1 sředech, -70°C	EDTA	as sředech, po sřed	as;	as (přeruš); 30min před	as
Whegan	IRMA (Shimozg); as	as;	as	30 min, max sřed	as (2-7h po raně medikace)	as
1999 (229)	as, -80°C	EDTA + apromin	as sředech	as	as;	as
Benav	RIA (as); as	as;	as	30 min	as (30min intervalch)	as
2004 (231)	as, -80°C	EDTA	as sředech	as	as;	as

Zkratky: BNP = B-typ natriuretický peptid; CHSS = Chemická hřidlná stabilizace; IRMA = Manuální imunoradiometrická analýza; as = Nespecifikováno; EDTA = Etylendiaminetetraacetátový kyselin; RIA = Radiimunanalýza; vv = Žil; FIA = Fluorimunanálýza; ACEI = Inhibitor angiotenzin konvertujícího enzymu; h = Hodina; VPI = Inhibitor vazopresin; ARB = Blokátor receptorů typu 1 angiotenzinu II; SAT = Srdceřezynchronizovaná terapie; ICMA = Imunochromatografická analýza; RIA = Enzymová imunanalýza as mikročástic.

méně příznivé. Vzhledem k relativní časnosti a predikovatelnosti detekované změny lze předpokládat její význam pro optimalizaci SRT problematiky (vymezení pojmů s praktickými konsekvencemi).

9.3. Upozornění

Dříve však bude nutné vyřešit otázku klinicky významné BNP změny tak, aby nedocházelo k nesprávné interpretaci na bázi falešně pozitivních, jen statisticky významných, výsledků a v tomto kontextu zhodnotit i na individuální úrovni míru spolehlivosti námi prezentovaného zjištění.

10. LITERATURA

- [1] Špinar J, Hradec J, Meluzín J, et al. Doporučení pro diagnostiku a léčbu chronického srdečního selhání ČKS 2006; Cor Vasa Suppl 2007;49:75-104.
- [2] Swedberg K, Cleland J, Dargie H., et al. Guidelines for the diagnosis and treatment of chronic heart failure: executive summary (update 2005): The Task Force for the Diagnosis and Treatment of Chronic Heart Failure of the European Society of Cardiology. Eur Heart J 2005;26:1115-40.
- [3] Hunt SA, Abraham WT, Chin MH, et al. ACC/AHA 2005 Guideline Update for the Diagnosis and Management of Chronic Heart Failure in the Adult: a report of the American College of Cardiology/American Heart Association Task Force on Practice Guidelines (Writing Committee to Update the 2001 Guidelines for the Evaluation and Management of Heart Failure): developed in collaboration with the American College of Chest Physicians and the International Society for Heart and Lung Transplantation: endorsed by the Heart Rhythm Society. Circulation 2005;112(12):e154-235.

- [4] Táborský M, Kautzner J, Bytešník J, et al. Zásady pro implantace kardiostimulátorů, implantabilních kardioverterů-defibrilátorů a srdeční resynchronizační léčbu 2005. *Cor Vasa Suppl* 2005;47:59-68.
- [5] Vardas PE, Auricchio A, Blanc JJ, et al. Guidelines for cardiac pacing and cardiac resynchronization therapy. *Eur Heart J* 2007;28:2256-95.
- [287] Hazuková R, Pleskot M. Úskalí při interpretaci plazmatické koncentrace natriuretického peptidu typu B. *Cor Vasa* 2006;48:207-8.
- [66] Blanc JJ, Etienne Y, Gilard M, et al. Evaluation of different ventricular pacing sites in patients with severe heart failure: results of an acute hemodynamic study. *Circulation*. 1997;96:3273-7.
- [67] Leclercq Ch, Cazeau S, Le Breton H, et al. Acute hemodynamic effects of biventricular DDD pacing in patients with end-stage heart failure. *J Am Coll Cardiol* 1998;32:1825-31.
- [75] Breithardt OA, Stellbrink C, Kramer AP, et al; PATH-CHF Study Group. Pacing Therapies for Congestive Heart Failure. Echocardiographic quantification of left ventricular asynchrony predicts an acute hemodynamic benefit of cardiac resynchronization therapy. *J Am Coll Cardiol* 2002;40:536-45.
- [129] Nelson GS, Berger RD, Fetters BJ, et al. Left ventricular or biventricular pacing improves cardiac function at diminished energy cost in patients with dilated cardiomyopathy and left bundle-branch block. *Circulation* 2000;102:3053-9.
- [180] Bruneau BG, Piazza LA, De Bold AJ. BNP gene expression is specifically modulated by stretch and ET-1 in a new model of isolated rat atria. *Am J Physiol Heart Circ Physiol* 1997;273:2678-86.
- [302] Hazuková R, Pleskot M, Havlíček A. Zvýšení B-typu natriuretického peptidu po reprogramaci chronické

biventrikulární stimulace na stimulaci izolované pravé komory. *Cor Vasa* 2008;5:195-9.

[285] Hazuková R, Pleskot M, Strítecká H. Methodical approach to collecting and preserving plasma samples containing B-type natriuretic peptide. *Eur J Heart Fail* 2007;9:216-7.

[268] Zoghi M, Nalbantgil S. Electrical stunning and hibernation: suggestion of new terms for short- and long-term cardiac memory. *Europace* 2004;6:418-424.

[179] Magga J, Mäkinen M, Romppanen H. Coronary pressure as a determinant of B-type natriuretic peptide gene expression in isolated perfused adult rat heart. *Life Sci* 1998;63:1005-15.

[284] Horie H, Tsutamoto T, Ishimoto N, et al. Plasma brain natriuretic peptide as a biochemical marker for atrioventricular sequence in patients with pacemakers. *PACE* 1999;22:282-90.

[271] Israel CW, Hohnloser SH. Acute severe cardiac decompensation during cardiac resynchronization therapy: What is the cause? *PACE* 2006;39:632-6.

[58] Kautzner J. Technické provedení srdeční resynchronizační terapie. *Kardiol Rev* 2004;18-21.

[292] Bruins S, Fokkema MR, Römer JWP, et al. High intraindividual variation of B-type natriuretic peptide (BNP) and amino-terminal proBNP in patients with stable chronic heart failure *Clin Chem* 2004;50:2052-8.

[261] Fokkema MR, Herrmann Z, Muskiet FAJ, Moecks J. Reference change values for brain natriuretic peptides revisited. *Clin Chem* 2006;52:1602-3.

11. ZKRATKY

BNP	= B-typ natriuretický peptid
BiVP	= Biventrikulární stimulace
CV	= Variační koeficient (podíl směrodatné

	odchylky průměrem násobený 100)
CHSS	= Chronické srdeční selhání
LV EDD	= End diastolický diametr levé komory
LV EF	= Ejekční frakce levé komory srdeční
LVP	= Stimulace izolované levé komory
MEIA	= Enzymová imunoanalýza na mikročásticích
NYHA	= New York Heart Association
PCWP	= Tlak v zaklíněné plicnici
rBiVP	= Reaktivovaná biventrikulární stimulace
rBiVP(RVP)	= Kontrolní stimulace v RVP protokolu definovaný jako reaktivovaná BiVP
rBiVP(LVP)	= Kontrolní stimulace v LVP protokolu definovaný jako reaktivovaná BiVP
RVP	= Stimulace izolované pravé komory
SRT	= Srdeční resynchronizační terapie
VR	= Variační rozpětí (rozdíl mezi maximem a minimem)

12. BIBLIOGRAFIE AUTORA

12.1. Původní recenzované články

- Hazuková R, Hottmar P, Lonský V, Šafr M, Kuneš P. Četnost výskytu úrazové ruptury aorty u posádek automobilů při čelním střetu se statickou čí

dynamickou protijedoucí překážkou. Soud Lék 2002; 47: 59-63.

- Petera J, Dvořák J, Melichar B, Kabeláč K, Zoul Z, Vobořil Z, Hazuková R. Chemoterapie v neoadjuvantní léčbě karcinomu žaludku. Klinická onkologie 2002; 15: 216-218.
- Hazukova R, Vojacek J, Pleskot M, Tauchman M, Beran L, Sivak M, Kvasnicka J, Havlicek A. B-type natriuretic peptide and temporary right ventricular pacing in chronic biventricular pacing. Advances in Heart Disease 2006; 521-525.
- Pleskot M, Hazuková R, Strítecká H. Survival of patients with left bundle branch block after out of hospital cardiac arrest. Resuscitation 2006;71(3):396-8. **(Impact factor 2006 = 2,314)**
- Hazuková R, Pleskot M, Havlíček A. Zvýšení B-typu natriuretického peptidu po reprogramaci chronické biventrikulární stimulace na stimulaci izolované pravé komory. Cor Vasa 2008;50(5):195-199.
- Pleskot M, Babu A, Hazuková R, et al. Out-of-hospital cardiac arrests in patients with acute ST elevation myocardial infarctions in the East Bohemian region over the period 2002-2004. Cardiology 2008;109(1):41-51. **(Impact Factor 2006 = 1,795)**
- Pleskot M, Hazukova R, Strítecka H, Cermakova E. The highest incidence of out-of-hospital cardiac arrest during a circadian period in survivors. Int Heart J 2008;49(2):183-92. **(Impact Factor 2006 = 0,533)**

12.2. Přehledové recenzované články

- Pleskot M, Kajzr J, Hazuková R. Farmakoterapie arytmií. Int med pro praxi 2003; 5: 437-446
- Pleskot M, Kajzr J, Hazuková R. Komorová tachyarytmie. Kardio rev 2004; 15-22

- Hazuková R. Patofyziologie natriuretického peptidu typu B. Lék Zpr LF UK Hradec Králové 2005; 50: 237-243

12.3. Ostatní recenzované články

- Hazukova R, Rejchrt S, Vacek Z, Kopacova M, Dvorak P, Bures J. Pitfalls of palpable mass in the right iliac fossa. Folia Gastroenterol Hepatol 2005; 3: 99-103 (Case report)
- Hazuková R, Pleskot M. Úskalí při interpretaci plazmatické koncentrace natriuretického peptidu typu B. Cor Vasa 2006; 48: 207-208 (Diskuse).
- Hazukova R, Pleskot M, Stritecka H. Methodical approach to collecting and preserving plasma samples containing B-type natriuretic peptide. Eur J Heart Fail. 2007 Feb;9(2):216-7. (Letter); (**Impact Factor 2007 = 2,986**)

12.4. Přednášky na odborných setkáních

12.4.1 Fakultní studentská vědecká konference v Hradci Králové 2002 (XLVIII)

- Hazuková R. Četnost výskytu úrazové ruptury aorty u posádek automobilů při čelním střetu se statickou či dynamickou protijedoucí překážkou. Sborník abstrakt 2002.

12.4.2 Den mladých kardiologů 2004 (XXX), 2005 (XXXI), 2008 (XXXIV)

- Hazuková R, Lonský V, Hottmar P, Šafr M, Pleskot M. Frekvence traumatických trhlin aorty u posádky automobilů při čelním střetu. Sborník abstrakt XXX dne mladých kardiologů 2004; 61.
- Hazuková R, Pleskot M, Vojáček J, Sivák M. B-typ natriuretický peptid a biventrikulární stimulace, význam vyšetření. Sborník abstrakt XXXI dne mladých kardiologů 2005; 33.
- Hazuková R, Pleskot M, Havlíček A, Tauchman M, Kvasnička J, Vojáček J. B-typ natriuretický peptid po

aktivaci méně příznivého režimu komorové stimulace.
Cor Vasa 2008;50(7-8):Kardio K 121.

12.4.3. Hradecký internistický den 2004 (X)

- Hazuková R, Pleskot M, Vojáček J. Brain natriuretický peptid – metabolický bazál. Lék Zpr LF UK Hradec Králové 2005; 50: 148-149.

12.4.4. Kongres České internistické společnosti ČLS J.E. Purkyně 2005 (XII)

- Hazuková R, Pleskot M, Vojáček J, Čermáková E. B- typ natriuretický peptid a toleranční interval pro stanovení klinicky významné změny. Vnitř lék 2005; 51: 1199-1200
- Hazuková R, Pleskot M, Beran L, Vojáček J, Tauchman M. B- typ natriuretický peptid u resynchronizační terapie. Vnitř lék 2005; 51: 1200
- Pleskot M, Babu A, Kajzr J, Střítecký J, Čermáková M, Hazuková R. Mimonemocniční srdeční zástava ve Východočeském regionu – krátkodobé přežívání podle Utsteinského protokolu. Vnitř lék 2005; 51: 1181-1182

12.4.5. Aple-Adria Cardiology Meeting, 2007

- Hazuková R, Pleskot M. Acute dysfunction of chronic cardiac resynchronizytion therapy evaluated by B-type natriuretic peptide. Cor Vasa 2007;49(4):Kardio K122.

12.4.6. World Congress on Heart Disease, Vancouver, Kanada 2005 (XII)

- Hazukova R, Vojacek J, Pleskot M, Tauchman M, Beran L, Sivak M, Kvasnicka J, Havlicek A. B- type natriuretic peptide and temporary right ventricular pacing in chronic biventricular pacing. J Heart Dis 2005; 4: 131.

12.4.7. Výroční sjezd České kardiologické společnosti 2005 (XIII), 2006 (XIV), 2008 (XVI)

- Hazuková R, Vojáček J, Pleskot M, Tauchman M, Havlíček A, Kvasnička J, Beran L. Schopnost mozkového natriuretického peptidu hodnotit účinek intervence u kompenzovaného srdečního selhání. *Suppl Cor Vasa* 2005; 47: 27
 - Hazuková R, Pleskot M, Havlíček A, Beran L, Vojáček J, Tauchman M, Jeníčková J. B-tyt natriuretický peptid u chronické biventrikulární stimulace při dočasné stimulaci izolované pravé komory. *Suppl Cor Vasa* 2006; 48: 31
 - Hazuková R. Frekvence respondérů na srdeční resynchronizační terapii. *Suppl Cor Vasa* 2006; 48: 31.
 - Hazuková R, Pleskot M, Havlíček A. Zvýšení B-tyt natriuretického púeptidu po reprogramaci chronické biventrikulární stimulace na stimulaci izolované pravé komory. *Medical Tribune CZ* 2008;17.
 - Pleskot M, Hazuková R, Strítecká H, Čermáková E. Cirkadiální variabilita incidence mimonemocniční srdeční zástavy u přežívajících osob. *Medical Tribune CZ* 2008;50.
- 12.4.8. Vienna Interdisciplinary symposium on aortic repair visar, Vienna, Austria 2005
- Lonský V, Hazuková R, Mandřák J. The frequency of occurrence of the thoracic aorta rupture at car passengers during the frontal crash 2005, 10. Vienna
- 12.4.9. 4th Postgraduate Medical Students Conference, LF UK, FNHK, 2008
- Hazuková R., B-type natriuretic peptide in heart failure resynchronization therapy.
- 8.4.10. Kardiologické dny ČKS, Nemocnice Na Homolce, Praha, 2008
- Hazuková R. B-tyt natriuretický peptid po aktivaci méně příznivého režimu komorové stimulace.

